

FIG. 1A

POLARIZATION  
DIRECTION



FIG. 1B

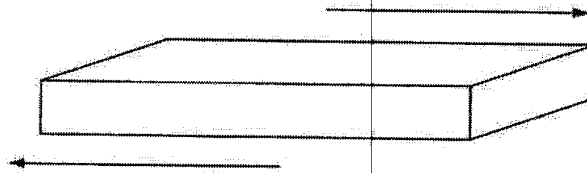


FIG. 2

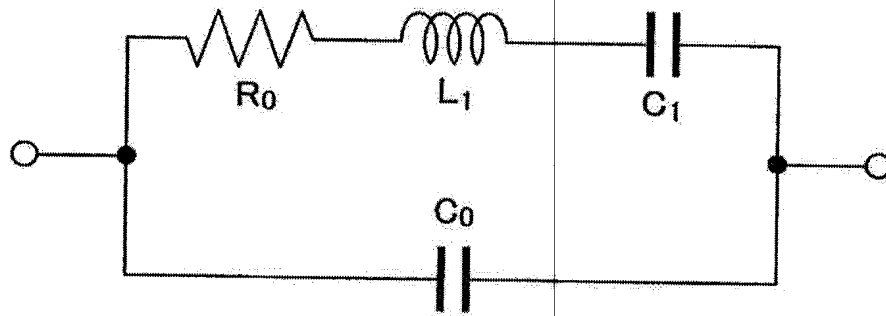


FIG. 3

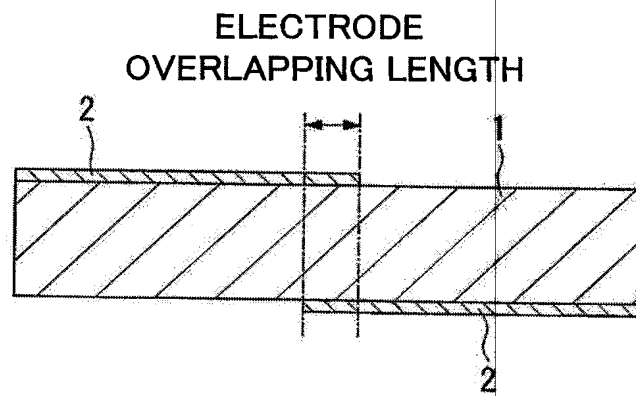
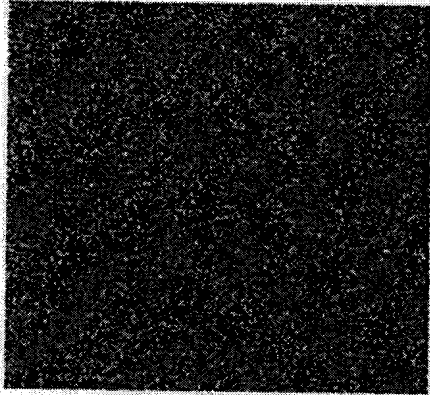


FIG. 4

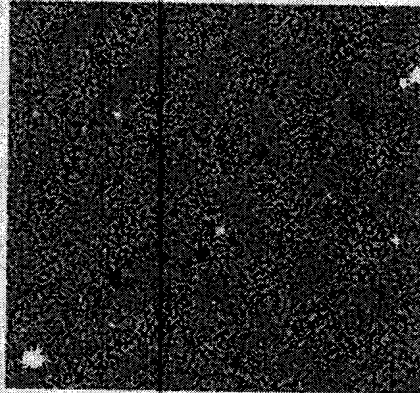
SPECIMEN No.	ADDITIVE		MAIN COMPONENT $\text{Pb}_\alpha[(\text{Mn}_{1/3}\text{Nb}_{2/3})_x\text{Ti}_y\text{Zr}_z]\text{O}_3$ ( $x+y+z=1$ )				ELECTRIC PROPERTIES $Q_{\max}$	MECHANICAL STRENGTH $\sigma_{b3}$ ( $\text{N/mm}^2$ )	HEAT RESISTING PROPERTIES $ \Delta F_0 $ (%)	AL- CONTAINING PHASE
	$\text{Al}_2\text{O}_3$ (wt%)	$\text{SiO}_2$ (wt%)	$\alpha$ (mol)	x (mol)	y (mol)	z (mol)				
1	0.1						120	155	0.11	x
2	0.3						135	172	0.07	O
3	0.5	0.02	0.99	0.10	0.53	0.37	136	179	0.08	O
4	0.7						130	192	0.07	O
5	1.0						133	192	0.07	O

# FIG. 5

SPECIMEN No. 1



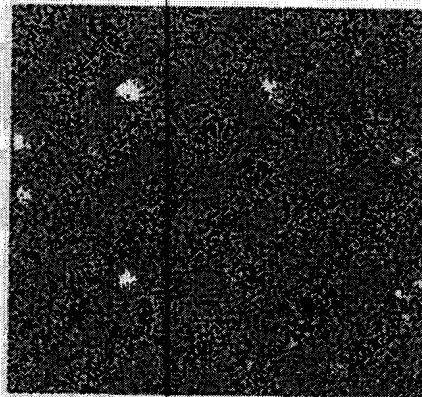
SPECIMEN No. 2



SPECIMEN No. 3



SPECIMEN No. 4



SPECIMEN No. 5

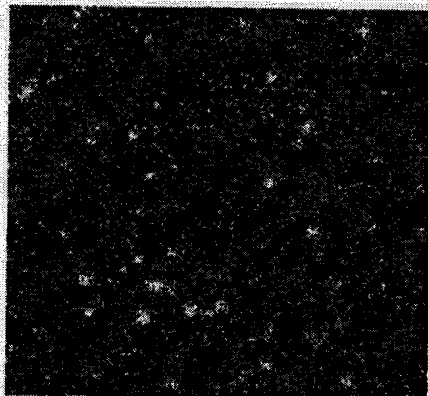


FIG. 6

SPECIMEN No.	ADDITIVE ( $\beta$ )		MAIN COMPONENT $Pb_a[(Mn_{1/3}Nb_{2/3})_xTi_yZr_z]O_3$ ( $x+y+z=1$ )				ELECTRIC PROPERTIES $Q_{max}$	HEAT RESISTING PROPERTIES $ \Delta k_{15} $ (%)	TEMPERATURE CHARACTERISTICS	
	$Al_2O_3$ (wt%)	$SiO_2$ (wt%)	$\alpha$ (mol)	x (mol)	y (mol)	z (mol)			$ \Delta F_0(-40^\circ C) $	$ \Delta F_0(85^\circ C) $
6	0.01	0.02	0.998		0.51	0.39	135	3.9	0.18	0.08
7	0.02						125	3.0	0.16	0.05
8	0.10						128	2.9	0.21	0.10
9	0.50						145	1.9	0.27	0.14
10	1.00						110	3.0	0.33	0.19
11	0.10			0.10			121	2.3	0.09	0.05
12	0.30						135	2.3	0.04	0.03
13	0.50						136	2.4	0.04	0.07
14	0.70						121	2.3	0.03	0.10
15	1.00						133	2.2	0.04	0.07
16	1.50		0.990		0.53	0.37	122	2.2	0.02	0.06
17	2.00						121	2.1	0.02	0.10
18	3.00						104	2.4	0.00	0.09
19	10.00						73	2.8	0.01	0.13

FIG. 7

SPECI- MEN No.	ADDITIVE		MAIN COMPONENT $\text{Pb}_\alpha[(\text{Mn}_{1/3}\text{Nb}_{2/3})_x\text{Ti}_y\text{Zr}_z]\text{O}_3$ ( $x+y+z=1$ )				ELECTRIC PROPER- TIES $Q_{\max}$	HEAT RESISTING PROPERTIES $ \Delta k_{15} $ (%)	TEMPERATURE CHARACTERISTICS	
	$\text{Al}_2\text{O}_3$ (wt%)	$\text{SiO}_2$ (wt%)	$\alpha$ (mol)	x (mol)	y (mol)	z (mol)			$ \Delta F_0(-40^\circ\text{C}) $	$ \Delta F_0(85^\circ\text{C}) $
20 *	0.5	0.02	0.990	0.02	0.56	0.42	29	1.1	0.24	0.14
21				0.04	0.58	0.38	81	0.9	0.11	0.14
22					0.56	0.40	85	1.0	0.25	0.02
23					0.55	0.41	117	1.4	0.29	0.09
24 *					0.54	0.42	108	1.4	0.54	0.19
25				0.06	0.56	0.38	95	1.1	0.09	0.04
26 *					0.52	0.42	177	1.5	1.10	0.77
27 *				0.08	0.59	0.33	98	1.5	0.28	0.41
28					0.54	0.38	112	1.7	0.11	0.02
29				0.09	0.55	0.36	114	1.8	0.03	0.19
30					0.54	0.37	119	1.8	0.05	0.11
31					0.53	0.38	124	1.5	0.13	0.03
32					0.52	0.39	154	1.8	0.24	0.07
33				0.10	0.58	0.32	81	1.7	0.23	0.30
34					0.54	0.36	147	2.1	0.02	0.14
35					0.53	0.37	146	1.8	0.05	0.06
36					0.52	0.38	158	1.7	0.14	0.02
37					0.51	0.39	183	1.6	0.25	0.13
38				0.11	0.53	0.36	135	2.7	0.00	0.09
39					0.52	0.37	127	1.9	0.07	0.00
40					0.51	0.38	163	2.0	0.16	0.10
41					0.50	0.39	170	2.0	0.27	0.22
42			0.12	0.12	0.58	0.30	80	2.2	0.29	0.40
43					0.56	0.32	98	2.3	0.20	0.28
44					0.50	0.38	177	2.6	0.13	0.15
45			0.995	0.09	0.55	0.36	128	1.3	0.00	0.17
46					0.54	0.37	131	1.6	0.08	0.08
47					0.53	0.38	129	1.2	0.14	0.02
48					0.52	0.39	154	0.8	0.26	0.10

FIG. 8

SPECI-MEN No.	ADDITIVE							MAIN COMPONENT $Pb_{\alpha}[(Mn_{1/3}Nb_{2/3})_xTi_yZr_z]O_3$ ( $x+y+z=1$ )				ELECTRIC PROPER- TIES $Q_{max}$	HEAT RESISTING PROPERTIES $ \Delta k_{15} $ (%)	TEMPERATURE CHARACTERISTICS	
	$Al_2O_3$ (wt%)	$Ga_2O_3$ (wt%)	$Ta_2O_5$ (wt%)	$Sc_2O_3$ (wt%)	$In_2O_3$ (wt%)	$^{33}O_3$ (wt%)	$SiO_2$ (wt%)	$\alpha$ (mol)	x (mol)	y (mol)	z (mol)			$ \Delta F_0(-40^{\circ}C) $	$ \Delta F_0(85^{\circ}C) $
49	-	0.02	-	-	-	-	0.02	1.000	0.10	0.51	0.39	141	2.2	0.40	0.25
50	-	0.10	-	-	-	-		1.000	0.10	0.51	0.39	145	2.0	0.35	0.23
51	-	-	0.50	-	-	-		1.000	0.10	0.51	0.39	166	2.7	0.12	0.07
52	-	-	0.50	-	-	-		0.995	0.09	0.55	0.36	107	2.8	0.15	0.30
53	-	-	0.50	-	-	-		0.995	0.09	0.53	0.38	119	1.9	0.03	0.17
54	-	-	0.50	-	-	-	0.02	0.995	0.09	0.52	0.39	140	1.6	0.05	0.09
55	-	-	-	0.02	-	-		0.990	0.10	0.51	0.39	147	2.9	0.25	0.12
56	-	-	-	0.10	-	-	0.02	0.990	0.10	0.51	0.39	138	2.7	0.30	0.17
57	0.45	-	-	-	0.02	-		0.990	0.10	0.51	0.39	131	2.2	0.25	0.15
58*	-	-	-	-	-	0.20		1.000	0.10	0.51	0.39	81	4.5	0.15	0.13
59*	-	-	-	-	-	0.30		1.000	0.10	0.51	0.39	129	4.7	0.09	0.04
60*	-	-	-	-	-	0.50		1.000	0.10	0.51	0.39	120	4.2	0.16	0.13